

FDTDを使った音響解析

目次

1	基本方程式	2
1.1	流体中の音波	2
1.2	固体中の弾性波	2
2	解析方法	5
2.1	速度ベクトル, 応力ベクトル	6
2.2	スカラー速度ポテンシャル, ベクトル速度ポテンシャル	7
2.3	2次精度の差分式	8
2.4	4次精度の差分式	8
3	離散式	10
3.1	時間及び空間の2次精度離散式	10
3.1.1	2次精度離散式-気体, 液体中の音波	10
3.1.2	2次精度離散式-固体中の弾性波	12
3.2	時間2次精度及び空間4次精度の離散式	18
3.2.1	空間4次精度の離散式 - 音波	18
3.2.2	空間4次精度の離散式 - 弾性波	20
4	境界条件	25
4.1	想定する境界条件	25
4.2	PML境界条件	28

1 基本方程式

1.1 流体中の音波

音波の基本方程式は粒子速度と圧力を用いて以下の式となる.

$$\frac{\partial}{\partial t} P = -\kappa \nabla \cdot \dot{\mathbf{U}} \quad (1)$$

$$\frac{\partial}{\partial t} \dot{\mathbf{U}} = -\frac{1}{\rho} \nabla P \quad (2)$$

$$\dot{\mathbf{U}} = \begin{bmatrix} \dot{u} \\ \dot{v} \\ \dot{w} \end{bmatrix} \quad (3)$$

P は圧力, $\dot{\mathbf{U}}$ は粒子速度ベクトル, κ は体積弾性率, ρ は密度とする. (1) は連続の式でありまた (2) は運動方程式である.

1.2 固体中の弾性波

固体中を伝播する弾性波の基本方程式は以下になる.

$$\frac{\partial}{\partial t} \mathbf{T} = [c] \cdot \nabla_s \dot{\mathbf{U}} \quad (4)$$

$$\rho \frac{\partial}{\partial t} \dot{\mathbf{U}} = \nabla \cdot \mathbf{T} \quad (5)$$

(4) はフックの法則であり, また (5) は運動方程式である.

$\dot{\mathbf{U}}$ は粒子速度ベクトル, \mathbf{T} は応力ベクトル, ρ は密度, c はスチフネステンソルである. また $\nabla \cdot, \nabla_s$ は Auld の演算子 [1] と呼ばれ $\nabla_s = \nabla \cdot^t$ の関係を満たす. 各行列成分は次に示すようになる.

$$\dot{\mathbf{U}} = \begin{bmatrix} \dot{u} \\ \dot{v} \\ \dot{w} \end{bmatrix} \quad (6)$$

$$\mathbf{T} = \begin{bmatrix} T_1 \\ T_2 \\ T_3 \\ T_4 \\ T_5 \\ T_6 \end{bmatrix} \quad (7)$$

$$\mathbf{c} = \begin{bmatrix} c_{11} & c_{12} & c_{13} & c_{14} & c_{15} & c_{16} \\ c_{21} & c_{22} & c_{23} & c_{24} & c_{25} & c_{26} \\ c_{31} & c_{32} & c_{33} & c_{34} & c_{35} & c_{36} \\ c_{41} & c_{42} & c_{43} & c_{44} & c_{45} & c_{46} \\ c_{51} & c_{52} & c_{53} & c_{56} & c_{55} & c_{56} \\ c_{61} & c_{62} & c_{63} & c_{64} & c_{65} & c_{66} \end{bmatrix} \quad (8)$$

$$\nabla \cdot = \begin{bmatrix} \partial/\partial x & 0 & 0 & 0 & \partial/\partial z & \partial/\partial y \\ 0 & \partial/\partial y & 0 & \partial/\partial z & 0 & \partial/\partial x \\ 0 & 0 & \partial/\partial z & \partial/\partial y & \partial/\partial x & 0 \end{bmatrix} \quad (9)$$

応力は一般には 3×3 のテンソル ($T_{kl}; k, l = 1 \sim 3$) 量である。実際には $T_{kl} = T_{lk}$ の関係があるので、考慮すべき独立な成分は 6 つになる。応力ベクトルはこの応力テンソルの独立な 6 つの成分 $T_1 \sim T_6$ で表した物である。スチフネステンソルの各成分には $c_{ij} = c_{ji}$ の関係がある。

固体内の弾性波は縦波と横波を含んでいるので速度ベクトルを縦波 \dot{U}_l と横波 \dot{U}_t の二つのベクトル場を用いて表す。

$$\dot{\mathbf{U}} = \dot{U}_l + \dot{U}_t \quad (10)$$

ここで横波と縦波はベクトル速度ポテンシャル $\mathbf{A} = [A_1, A_2, A_3]$ とスカラー速度ポテンシャル ϕ を用いて以下で定義する。

$$\dot{U}_l = \nabla \phi \quad (11)$$

$$\dot{U}_t = \nabla \times \mathbf{A} \quad (12)$$

$$\nabla \cdot \mathbf{A} = 0 \quad (13)$$

よって速度ベクトル \dot{U} はベクトル速度ポテンシャルとスカラー速度ポテンシャルを用いて以下のように表すことができる.

$$\dot{U} = \nabla\phi + \nabla \times A \quad (14)$$

この式 (14) に $\nabla \cdot$ を作用させる.

$$\nabla \cdot \dot{U} = \nabla^2\phi + \nabla \cdot (\nabla \times A) \quad (15)$$

ベクトル解析の恒等式より

$$\nabla \cdot (\nabla \times A) = 0 \quad (16)$$

であるから, 式 (15) は

$$\nabla \cdot \dot{U} = \nabla^2\phi \quad (17)$$

となる.

またこの式 (14) に $\nabla \times$ を作用させ

$$\begin{aligned} \nabla \times \dot{U} &= \nabla \times \nabla\phi + \nabla \times (\nabla \times A) \\ &= 0 + \nabla(\nabla \cdot A) - \nabla^2 A \\ &= -\nabla^2 A \end{aligned} \quad (18)$$

となる. ここでベクトル恒等式

$$\nabla \times \nabla\phi = 0 \quad (19)$$

$$\nabla \times (\nabla \times A) = \nabla(\nabla \cdot A) - \nabla^2 A \quad (20)$$

を用いた.

よって式 (17) と式 (18) から速度ベクトル \dot{U} が計算されれば, 縦波 (スカラー速度ポテンシャル), 横波 (ベクトル速度ポテンシャル) を解析できることになる.

2 解析方法

時間と空間について中心差分を取りいわゆる FDTD 法を用いて応力ベクトル T と速度ベクトル \dot{U} を数值的に解析する。求められた応力と粒子速度から (14) の関係を用いて速度ポテンシャル \dot{A} とスカラ速度ポテンシャル $\dot{\phi}$ を求める。差分の精度については時間は 2 次精度, 空間については 2 次精度と 4 次精度を考慮する。

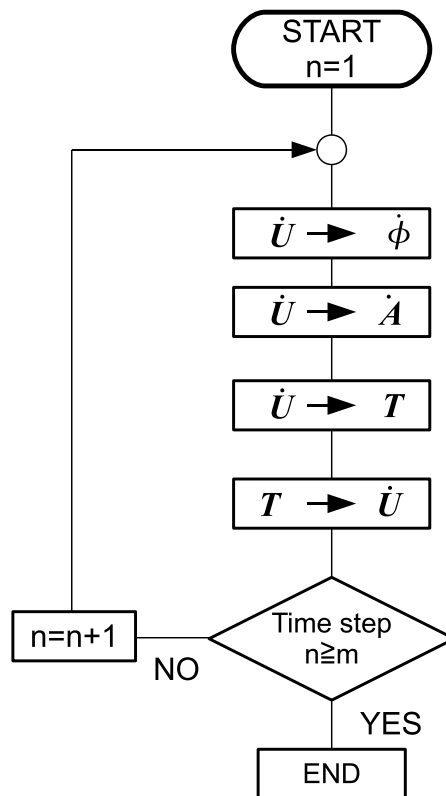


図 1: 計算のフローチャート図. 粒子速度ベクトル \dot{U} からスカラ・ベクトル速度ポテンシャル $\dot{\phi}, \dot{A}$ が計算される. また粒子速度ベクトル \dot{U} から半ステップ時間後の応力 T が計算される. この応力ベクトルから粒子速度が計算され時間ステップを更新する

2.1 速度ベクトル, 応力ベクトル

(4) と (5) を時間と空間について中心差分で離散化し応力ベクトル及び粒子速度ベクトルを求める.

その為にまず (4) を書き下す

$$\begin{aligned}
 \frac{\partial}{\partial t} \begin{bmatrix} T_1 \\ T_2 \\ T_3 \\ T_4 \\ T_5 \\ T_6 \end{bmatrix} &= \begin{bmatrix} c_{11} & c_{12} & c_{13} & c_{14} & c_{15} & c_{16} \\ c_{21} & c_{22} & c_{23} & c_{24} & c_{25} & c_{26} \\ c_{31} & c_{32} & c_{33} & c_{34} & c_{35} & c_{36} \\ c_{41} & c_{42} & c_{43} & c_{44} & c_{45} & c_{46} \\ c_{51} & c_{52} & c_{53} & c_{56} & c_{55} & c_{56} \\ c_{61} & c_{62} & c_{63} & c_{64} & c_{65} & c_{66} \end{bmatrix} \begin{bmatrix} \frac{\partial}{\partial x} & 0 & 0 \\ 0 & \frac{\partial}{\partial y} & 0 \\ 0 & 0 & \frac{\partial}{\partial z} \\ 0 & \frac{\partial}{\partial z} & \frac{\partial}{\partial y} \\ \frac{\partial}{\partial z} & 0 & \frac{\partial}{\partial x} \\ \frac{\partial}{\partial y} & \frac{\partial}{\partial x} & 0 \end{bmatrix} \begin{bmatrix} \dot{u} \\ \dot{v} \\ \dot{w} \end{bmatrix} \\
 &= \begin{bmatrix} c_{11} & c_{12} & c_{13} & c_{14} & c_{15} & c_{16} \\ c_{21} & c_{22} & c_{23} & c_{24} & c_{25} & c_{26} \\ c_{31} & c_{32} & c_{33} & c_{34} & c_{35} & c_{36} \\ c_{41} & c_{42} & c_{43} & c_{44} & c_{45} & c_{46} \\ c_{51} & c_{52} & c_{53} & c_{56} & c_{55} & c_{56} \\ c_{61} & c_{62} & c_{63} & c_{64} & c_{65} & c_{66} \end{bmatrix} \begin{bmatrix} \frac{\partial}{\partial x} \dot{u} \\ \frac{\partial}{\partial y} \dot{v} \\ \frac{\partial}{\partial z} \dot{w} \\ \frac{\partial}{\partial z} \dot{v} + \frac{\partial}{\partial y} \dot{w} \\ \frac{\partial}{\partial z} \dot{u} + \frac{\partial}{\partial x} \dot{w} \\ \frac{\partial}{\partial y} \dot{u} + \frac{\partial}{\partial x} \dot{v} \end{bmatrix} \\
 &= \begin{bmatrix} c_{11} \frac{\partial}{\partial x} \dot{u} + c_{12} \frac{\partial}{\partial y} \dot{v} + c_{13} \frac{\partial}{\partial z} \dot{w} + c_{14} (\frac{\partial}{\partial z} \dot{v} + \frac{\partial}{\partial y} \dot{w}) + c_{15} (\frac{\partial}{\partial z} \dot{u} + \frac{\partial}{\partial x} \dot{w}) + c_{16} (\frac{\partial}{\partial y} \dot{u} + \frac{\partial}{\partial x} \dot{v}) \\ c_{21} \frac{\partial}{\partial x} \dot{u} + c_{22} \frac{\partial}{\partial y} \dot{v} + c_{23} \frac{\partial}{\partial z} \dot{w} + c_{24} (\frac{\partial}{\partial z} \dot{v} + \frac{\partial}{\partial y} \dot{w}) + c_{25} (\frac{\partial}{\partial z} \dot{u} + \frac{\partial}{\partial x} \dot{w}) + c_{26} (\frac{\partial}{\partial y} \dot{u} + \frac{\partial}{\partial x} \dot{v}) \\ c_{31} \frac{\partial}{\partial x} \dot{u} + c_{32} \frac{\partial}{\partial y} \dot{v} + c_{33} \frac{\partial}{\partial z} \dot{w} + c_{34} (\frac{\partial}{\partial z} \dot{v} + \frac{\partial}{\partial y} \dot{w}) + c_{35} (\frac{\partial}{\partial z} \dot{u} + \frac{\partial}{\partial x} \dot{w}) + c_{36} (\frac{\partial}{\partial y} \dot{u} + \frac{\partial}{\partial x} \dot{v}) \\ c_{41} \frac{\partial}{\partial x} \dot{u} + c_{42} \frac{\partial}{\partial y} \dot{v} + c_{43} \frac{\partial}{\partial z} \dot{w} + c_{44} (\frac{\partial}{\partial z} \dot{v} + \frac{\partial}{\partial y} \dot{w}) + c_{45} (\frac{\partial}{\partial z} \dot{u} + \frac{\partial}{\partial x} \dot{w}) + c_{46} (\frac{\partial}{\partial y} \dot{u} + \frac{\partial}{\partial x} \dot{v}) \\ c_{51} \frac{\partial}{\partial x} \dot{u} + c_{52} \frac{\partial}{\partial y} \dot{v} + c_{53} \frac{\partial}{\partial z} \dot{w} + c_{54} (\frac{\partial}{\partial z} \dot{v} + \frac{\partial}{\partial y} \dot{w}) + c_{55} (\frac{\partial}{\partial z} \dot{u} + \frac{\partial}{\partial x} \dot{w}) + c_{56} (\frac{\partial}{\partial y} \dot{u} + \frac{\partial}{\partial x} \dot{v}) \\ c_{61} \frac{\partial}{\partial x} \dot{u} + c_{62} \frac{\partial}{\partial y} \dot{v} + c_{63} \frac{\partial}{\partial z} \dot{w} + c_{64} (\frac{\partial}{\partial z} \dot{v} + \frac{\partial}{\partial y} \dot{w}) + c_{65} (\frac{\partial}{\partial z} \dot{u} + \frac{\partial}{\partial x} \dot{w}) + c_{66} (\frac{\partial}{\partial y} \dot{u} + \frac{\partial}{\partial x} \dot{v}) \end{bmatrix} \quad (21)
 \end{aligned}$$

となる。

ただし等方性のある弾性固体の場合にはこのスチフネステンソル c は下記のように表される。

$$\mathbf{c} = \begin{bmatrix} c_{11} & c_{12} & c_{12} & 0 & 0 & 0 \\ c_{12} & c_{11} & c_{12} & 0 & 0 & 0 \\ c_{12} & c_{12} & c_{11} & 0 & 0 & 0 \\ 0 & 0 & 0 & c_{44} & 0 & 0 \\ 0 & 0 & 0 & 0 & c_{44} & 0 \\ 0 & 0 & 0 & 0 & 0 & c_{44} \end{bmatrix} \quad (22)$$

したがって媒質が等方性弾性固体の場合には式 (21) は以下のようになり、

$$\frac{\partial}{\partial t} \begin{bmatrix} T_1 \\ T_2 \\ T_3 \\ T_4 \\ T_5 \\ T_6 \end{bmatrix} = \begin{bmatrix} c_{11} \frac{\partial}{\partial x} \dot{u} + c_{12} \frac{\partial}{\partial y} \dot{v} + c_{12} \frac{\partial}{\partial z} \dot{w} \\ c_{12} \frac{\partial}{\partial x} \dot{u} + c_{11} \frac{\partial}{\partial y} \dot{v} + c_{12} \frac{\partial}{\partial z} \dot{w} \\ c_{12} \frac{\partial}{\partial x} \dot{u} + c_{12} \frac{\partial}{\partial y} \dot{v} + c_{11} \frac{\partial}{\partial z} \dot{w} \\ c_{44} \left(\frac{\partial}{\partial z} \dot{v} + \frac{\partial}{\partial y} \dot{w} \right) \\ c_{44} \left(\frac{\partial}{\partial z} \dot{u} + \frac{\partial}{\partial x} \dot{w} \right) \\ c_{44} \left(\frac{\partial}{\partial y} \dot{u} + \frac{\partial}{\partial x} \dot{v} \right) \end{bmatrix} \quad (23)$$

と簡略できる。

次に (5) を書き下せば

$$\begin{aligned} \rho \frac{\partial}{\partial t} \begin{bmatrix} \dot{u} \\ \dot{v} \\ \dot{w} \end{bmatrix} &= \begin{bmatrix} \partial/\partial x & 0 & 0 & 0 & \partial/\partial z & \partial/\partial y \\ 0 & \partial/\partial y & 0 & \partial/\partial z & 0 & \partial/\partial x \\ 0 & 0 & \partial/\partial z & \partial/\partial y & \partial/\partial x & 0 \end{bmatrix} \begin{bmatrix} T_1 \\ T_2 \\ T_3 \\ T_4 \\ T_5 \\ T_6 \end{bmatrix} \\ &= \begin{bmatrix} \frac{\partial}{\partial x} T_1 + \frac{\partial}{\partial z} T_5 + \frac{\partial}{\partial y} T_6 \\ \frac{\partial}{\partial y} T_2 + \frac{\partial}{\partial z} T_4 + \frac{\partial}{\partial x} T_6 \\ \frac{\partial}{\partial z} T_3 + \frac{\partial}{\partial y} T_4 + \frac{\partial}{\partial x} T_5 \end{bmatrix} \end{aligned} \quad (24)$$

となる。したがってこの二つの式を時間と空間についてそれぞれ中心差分で書き下し離散式を得る。

2.2 スカラ速度ポテンシャル, ベクトル速度ポテンシャル

速度ベクトルとスカラ速度ポテンシャル, ベクトル速度ポテンシャルの関係を見るために式 (17) と式 (18) を書き下す。まず (17) より

$$\frac{\partial \dot{u}}{\partial x} + \frac{\partial \dot{v}}{\partial y} + \frac{\partial \dot{w}}{\partial z} = \frac{\partial^2 \phi}{\partial x^2} + \frac{\partial^2 \phi}{\partial y^2} + \frac{\partial^2 \phi}{\partial z^2} \quad (25)$$

ここで

$$\frac{\partial^2 \phi}{\partial t^2} = c_p^2 \left(\frac{\partial^2 \phi}{\partial x^2} + \frac{\partial^2 \phi}{\partial y^2} + \frac{\partial^2 \phi}{\partial z^2} \right) \quad (26)$$

の関係があるので

$$\begin{aligned}\frac{\partial \dot{u}}{\partial x} + \frac{\partial \dot{v}}{\partial y} + \frac{\partial \dot{w}}{\partial z} &= \frac{1}{c_p^2} \left(\frac{\partial^2 \phi}{\partial t^2} \right) \\ &= \frac{1}{c_p^2} \left(\frac{\partial \dot{\phi}}{\partial t} \right)\end{aligned}\quad (27)$$

つぎに (18) を書き下す.

$$\begin{aligned}\begin{bmatrix} \frac{\partial}{\partial y} \dot{w} - \frac{\partial}{\partial z} \dot{v} \\ \frac{\partial}{\partial z} \dot{u} - \frac{\partial}{\partial x} \dot{w} \\ \frac{\partial}{\partial x} \dot{v} - \frac{\partial}{\partial y} \dot{u} \end{bmatrix} &= - \begin{bmatrix} \frac{\partial^2}{\partial x^2} A_1 + \frac{\partial^2}{\partial y^2} A_1 + \frac{\partial^2}{\partial z^2} A_1 \\ \frac{\partial^2}{\partial x^2} A_2 + \frac{\partial^2}{\partial y^2} A_2 + \frac{\partial^2}{\partial z^2} A_2 \\ \frac{\partial^2}{\partial x^2} A_3 + \frac{\partial^2}{\partial y^2} A_3 + \frac{\partial^2}{\partial z^2} A_3 \end{bmatrix} \\ &= - \frac{1}{c_s^2} \begin{bmatrix} \frac{\partial^2}{\partial t^2} A_1 \\ \frac{\partial^2}{\partial t^2} A_2 \\ \frac{\partial^2}{\partial t^2} A_3 \end{bmatrix} \\ &= - \frac{1}{c_s^2} \frac{\partial^2 \mathbf{A}}{\partial t^2} \\ &= - \frac{1}{c_s^2} \frac{\partial \dot{\mathbf{A}}}{\partial t}\end{aligned}\quad (28)$$

となる. したがってすでに計算によって得られている速度ベクトル \dot{U} からスカラー速度ポテンシャル, ベクトル速度ポテンシャルを求めることができる. ここで c_p と c_s は縦波速度と横波速度である.

2.3 2次精度の差分式

2次精度の中心差分は以下の差分式を使う.

$$\frac{\partial f}{\partial x} \Big|_i = \frac{f_{i+\frac{1}{2}} - f_{i-\frac{1}{2}}}{\Delta x} + O(\Delta x^2)\quad (29)$$

2.4 4次精度の差分式

4次精度の中心差分は以下の差分式を使う

$$\begin{aligned}\frac{\partial f}{\partial x} \Big|_i &= \frac{27(f_{i+\frac{1}{2}} - f_{i-\frac{1}{2}}) - (f_{i+\frac{3}{2}} - f_{i-\frac{3}{2}})}{24\Delta x} + O(\Delta x^4) \\ &= \frac{9}{8\Delta x} (f_{i+\frac{1}{2}} - f_{i-\frac{1}{2}}) - \frac{1}{24\Delta x} (f_{i+\frac{3}{2}} - f_{i-\frac{3}{2}})\end{aligned}\quad (30)$$

この差分式は以下の方法で導出した.

まず $f_{i+\frac{3}{2}}, f_{i+\frac{1}{2}}, f_{i-\frac{1}{2}}, f_{i-\frac{3}{2}}$ を $x = i$ の近傍でテーラー展開する.

$$\begin{aligned} f_{i+\frac{3}{2}} &= f_i + \left(\frac{3}{2}\Delta x\right) \frac{\partial f}{\partial x}\Big|_i + \frac{1}{2!} \left(\frac{3}{2}\Delta x\right)^2 \frac{\partial^2 f}{\partial x^2}\Big|_i \\ &\quad + \frac{1}{3!} \left(\frac{3}{2}\Delta x\right)^3 \frac{\partial^3 f}{\partial x^3}\Big|_i + \frac{1}{4!} \left(\frac{3}{2}\Delta x\right)^4 \frac{\partial^4 f}{\partial x^4}\Big|_i + O(\Delta x^5) \end{aligned} \quad (31)$$

$$\begin{aligned} f_{i+\frac{1}{2}} &= f_i + \left(\frac{\Delta x}{2}\right) \frac{\partial f}{\partial x}\Big|_i + \frac{1}{2!} \left(\frac{\Delta x}{2}\right)^2 \frac{\partial^2 f}{\partial x^2}\Big|_i \\ &\quad + \frac{1}{3!} \left(\frac{\Delta x}{2}\right)^3 \frac{\partial^3 f}{\partial x^3}\Big|_i + \frac{1}{4!} \left(\frac{\Delta x}{2}\right)^4 \frac{\partial^4 f}{\partial x^4}\Big|_i + O(\Delta x^5) \end{aligned} \quad (32)$$

$$\begin{aligned} f_{i-\frac{1}{2}} &= f_i - \left(\frac{\Delta x}{2}\right) \frac{\partial f}{\partial x}\Big|_i + \frac{1}{2!} \left(\frac{\Delta x}{2}\right)^2 \frac{\partial^2 f}{\partial x^2}\Big|_i \\ &\quad - \frac{1}{3!} \left(\frac{\Delta x}{2}\right)^3 \frac{\partial^3 f}{\partial x^3}\Big|_i + \frac{1}{4!} \left(\frac{\Delta x}{2}\right)^4 \frac{\partial^4 f}{\partial x^4}\Big|_i + O(\Delta x^5) \end{aligned} \quad (33)$$

$$\begin{aligned} f_{i-\frac{3}{2}} &= f_i - \left(\frac{3\Delta x}{2}\right) \frac{\partial f}{\partial x}\Big|_i + \frac{1}{2!} \left(\frac{3\Delta x}{2}\right)^2 \frac{\partial^2 f}{\partial x^2}\Big|_i \\ &\quad - \frac{1}{3!} \left(\frac{3\Delta x}{2}\right)^3 \frac{\partial^3 f}{\partial x^3}\Big|_i + \frac{1}{4!} \left(\frac{3\Delta x}{2}\right)^4 \frac{\partial^4 f}{\partial x^4}\Big|_i + O(\Delta x^5) \end{aligned} \quad (34)$$

(31) – (34) より

$$f_{i+\frac{3}{2}} - f_{i-\frac{3}{2}} = 2\left(\frac{3\Delta x}{2}\right) \frac{\partial u}{\partial x}\Big|_i + \frac{2}{3!} \left(\frac{3\Delta x}{2}\right)^3 \frac{\partial^3 f}{\partial x^3}\Big|_i + O(\Delta x^5) \quad (35)$$

また (32) – (33) より

$$f_{i+\frac{1}{2}} - f_{i-\frac{1}{2}} = 2\left(\frac{\Delta x}{2}\right) \frac{\partial u}{\partial x}\Big|_i + \frac{2}{3!} \left(\frac{\Delta x}{2}\right)^3 \frac{\partial^3 f}{\partial x^3}\Big|_i + O(\Delta x^5) \quad (36)$$

を得る。(35) – $3^3 \times$ (36) より

$$f_{i+\frac{3}{2}} - f_{i-\frac{3}{2}} - 27(f_{i+\frac{1}{2}} - f_{i-\frac{1}{2}}) = -24(\Delta x) \frac{\partial f}{\partial x}\Big|_i + O(\Delta x^5) \quad (37)$$

よって

$$\frac{\partial f}{\partial x}\Big|_i = \frac{27(f_{i+\frac{1}{2}} - f_{i-\frac{1}{2}}) - (f_{i+\frac{3}{2}} - f_{i-\frac{3}{2}})}{24\Delta x} + O(\Delta x^4) \quad (38)$$

を得る.

3 離散式

3.1 時間及び空間の2次精度離散式

時間および空間2次精度の離散式を気体（液体）中の音波と固体中の弾性波にわけて考える．

3.1.1 2次精度離散式-気体，液体中の音波

(1) また (2) を二次精度の中心差分式を用いて離散化させる．
まず (1),(2) を展開すれば

$$\frac{\partial}{\partial t} P = -\kappa \left(\frac{\partial}{\partial x} \dot{u} + \frac{\partial}{\partial y} \dot{v} + \frac{\partial}{\partial z} \dot{w} \right) \quad (39)$$

$$\frac{\partial}{\partial t} \begin{bmatrix} \dot{u} \\ \dot{v} \\ \dot{w} \end{bmatrix} = -\frac{1}{\rho} \begin{bmatrix} \frac{\partial}{\partial x} P \\ \frac{\partial}{\partial y} P \\ \frac{\partial}{\partial z} P \end{bmatrix} \quad (40)$$

となる。したがって (39) を二次の中心差分で書き下せば以下のようになる．

$$\begin{aligned} \frac{P^{n+\frac{1}{2}}(i, j, k) - P^{n-\frac{1}{2}}(i, j, k)}{\Delta t} &= -\kappa \left(\frac{\dot{u}^n(i + \frac{1}{2}, j, k) - \dot{u}^n(i - \frac{1}{2}, j, k)}{\Delta x} \right) \\ &\quad -\kappa \left(\frac{\dot{w}^n(i, j + \frac{1}{2}, k) - \dot{w}^n(i, j - \frac{1}{2}, k)}{\Delta y} \right) \\ &\quad -\kappa \left(\frac{\dot{w}^n(i, j, k + \frac{1}{2}) - \dot{w}^n(i, j, k - \frac{1}{2})}{\Delta z} \right) \end{aligned} \quad (41)$$

であるから，

$$\begin{aligned} P^{n+\frac{1}{2}}(i, j, k) &= P^{n-\frac{1}{2}}(i, j, k) \\ &\quad - \kappa \frac{\Delta t}{\Delta x} \left(\dot{u}^n(i + \frac{1}{2}, j, k) - \dot{u}^n(i - \frac{1}{2}, j, k) \right) \\ &\quad - \kappa \frac{\Delta t}{\Delta y} \left(\dot{v}^n(i, j + \frac{1}{2}, k) - \dot{v}^n(i, j - \frac{1}{2}, k) \right) \\ &\quad - \kappa \frac{\Delta t}{\Delta z} \left(\dot{w}^n(i, j, k + \frac{1}{2}) - \dot{w}^n(i, j, k - \frac{1}{2}) \right) \end{aligned} \quad (42)$$

また同様に

(40) の各成分も離散化すると以下ようになる .

$$\begin{aligned} \dot{u}^{n+1}(i + \frac{1}{2}, j, k) &= \dot{u}^{n+\frac{1}{2}}(i + \frac{1}{2}, j, k) \\ &\quad - \frac{\Delta t}{\rho \Delta x} \left(P^{n+\frac{1}{2}}(i + 1, j, k) - P^{n+\frac{1}{2}}(i, j, k) \right) \\ \dot{v}^{n+1}(j, i + \frac{1}{2}, k) &= \dot{v}^{n+\frac{1}{2}}(j, i + \frac{1}{2}, k) \\ &\quad - \frac{\Delta t}{\rho \Delta y} \left(P^{n+\frac{1}{2}}(i, j + 1, k) - P^{n+\frac{1}{2}}(i, j, k) \right) \\ \dot{w}^{n+1}(i, j, k + \frac{1}{2}) &= \dot{w}^{n+\frac{1}{2}}(i, j, k + \frac{1}{2}) \\ &\quad - \frac{\Delta t}{\rho \Delta z} \left(P^{n+\frac{1}{2}}(i, j, k + 1) - P^{n+\frac{1}{2}}(i, j, k) \right) \end{aligned}$$

各成分の格子点上の位置関係については図 2 を参照 .

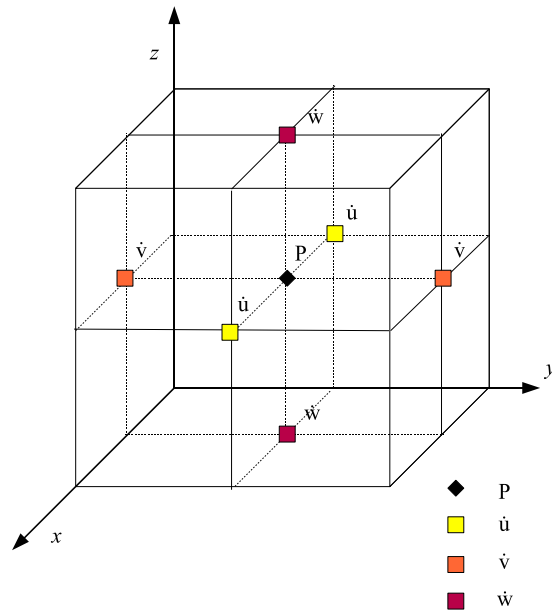


図 2: 音波の圧力と変位ベクトルを離散化しグリッドに並べた図

3.1.2 2次精度離散式-固体中の弾性波

(23) と (24) を時間と空間についての2次精度の中心差分で書き換える。
まず (23) の第一式を差分にして書き下すと

$$\begin{aligned} \frac{T_1^{n+\frac{1}{2}}(i, j, k) - T_1^{n-\frac{1}{2}}(i, j, k)}{\Delta t} &= c_{11} \frac{\dot{u}^n(i + \frac{1}{2}, j, k) - \dot{u}^n(i - \frac{1}{2}, j, k)}{\Delta x} \\ &+ c_{12} \frac{\dot{v}^n(i, j + \frac{1}{2}, k) - \dot{v}^n(i, j - \frac{1}{2}, k)}{\Delta y} \\ &+ c_{12} \frac{\dot{w}^n(i, j, k + \frac{1}{2}) - \dot{w}^n(i, j, k - \frac{1}{2})}{\Delta z} \end{aligned}$$

であるから,

$$\begin{aligned} T_1^{n+\frac{1}{2}}(i, j, k) &= T_1^{n-\frac{1}{2}}(i, j, k) \\ &+ c_{11} \frac{\Delta t}{\Delta x} \left(\dot{u}^n(i + \frac{1}{2}, j, k) - \dot{u}^n(i - \frac{1}{2}, j, k) \right) \\ &+ c_{12} \frac{\Delta t}{\Delta y} \left(\dot{v}^n(i, j + \frac{1}{2}, k) - \dot{v}^n(i, j - \frac{1}{2}, k) \right) \\ &+ c_{12} \frac{\Delta t}{\Delta z} \left(\dot{w}^n(i, j, k + \frac{1}{2}) - \dot{w}^n(i, j, k - \frac{1}{2}) \right) \end{aligned}$$

となる。

n は時間ステップで (i, j, k) は三次元格子点 (x, y, z) を表す。 Δt は時間の刻み幅で $\Delta x, \Delta y, \Delta z$ はそれぞれ x 方向, y 方向, z 方向の空間刻み幅である。

以下同様にして、残りの応力成分を差分であらわせば、

$$\begin{aligned}
T_2^{n+\frac{1}{2}}(i, j, k) &= T_2^{n-\frac{1}{2}}(i, j, k) \\
&+ c_{12} \frac{\Delta t}{\Delta x} \left(\dot{u}^n(i + \frac{1}{2}, j, k) - \dot{u}^n(i - \frac{1}{2}, j, k) \right) \\
&+ c_{11} \frac{\Delta t}{\Delta y} \left(\dot{v}^n(i, j + \frac{1}{2}, k) - \dot{v}^n(i, j - \frac{1}{2}, k) \right) \\
&+ c_{12} \frac{\Delta t}{\Delta z} \left(\dot{w}^n(i, j, k + \frac{1}{2}) - \dot{w}^n(i, j, k - \frac{1}{2}) \right) \\
T_3^{n+\frac{1}{2}}(i, j, k) &= T_3^{n-\frac{1}{2}}(i, j, k) \\
&+ c_{12} \frac{\Delta t}{\Delta x} \left(\dot{u}^n(i + \frac{1}{2}, j, k) - \dot{u}^n(i - \frac{1}{2}, j, k) \right) \\
&+ c_{12} \frac{\Delta t}{\Delta y} \left(\dot{v}^n(i, j + \frac{1}{2}, k) - \dot{v}^n(i, j - \frac{1}{2}, k) \right) \\
&+ c_{11} \frac{\Delta t}{\Delta z} \left(\dot{w}^n(i, j, k + \frac{1}{2}) - \dot{w}^n(i, j, k - \frac{1}{2}) \right) \\
T_4^{n+\frac{1}{2}}(i, j + \frac{1}{2}, k + \frac{1}{2}) &= T_4^{n-\frac{1}{2}}(i, j + \frac{1}{2}, k + \frac{1}{2}) \\
&+ c_{44} \frac{\Delta t}{\Delta z} \left(\dot{v}^n(i, j + \frac{1}{2}, k + 1) - \dot{v}^n(i, j + \frac{1}{2}, k) \right) \\
&+ c_{44} \frac{\Delta t}{\Delta y} \left(\dot{w}^n(i, j + 1, k + \frac{1}{2}) - \dot{w}^n(i, j, k + \frac{1}{2}) \right) \\
T_5^{n+\frac{1}{2}}(i + \frac{1}{2}, j, k + \frac{1}{2}) &= T_5^{n-\frac{1}{2}}(i + \frac{1}{2}, j, k + \frac{1}{2}) \\
&+ c_{44} \frac{\Delta t}{\Delta z} \left(\dot{u}^n(i + \frac{1}{2}, j, k + 1) - \dot{u}^n(i + \frac{1}{2}, j, k) \right) \\
&+ c_{44} \frac{\Delta t}{\Delta x} \left(\dot{w}^n(i + 1, j, k + \frac{1}{2}) - \dot{w}^n(i, j, k + \frac{1}{2}) \right) \\
T_6^{n+\frac{1}{2}}(i + \frac{1}{2}, j + \frac{1}{2}, k) &= T_6^{n-\frac{1}{2}}(i + \frac{1}{2}, j + \frac{1}{2}, k) \\
&+ c_{44} \frac{\Delta t}{\Delta y} \left(\dot{u}^n(i + \frac{1}{2}, j + 1, k) - \dot{u}^n(i + \frac{1}{2}, j, k) \right) \\
&+ c_{44} \frac{\Delta t}{\Delta x} \left(\dot{v}^n(i + 1, j + \frac{1}{2}, k) - \dot{v}^n(i, j + \frac{1}{2}, k) \right)
\end{aligned}$$

となる. また式 (24) についても同様にして速度ベクトル成分を計算できる.

$$\begin{aligned}
\dot{u}^{n+1}(i + \frac{1}{2}, j, k) &= \dot{u}^n(i + \frac{1}{2}, j, k) \\
&+ \frac{\Delta t}{\rho \Delta x} \left(T_1^{n+\frac{1}{2}}(i + 1, j, k) - T_1^{n+\frac{1}{2}}(i, j, k) \right) \\
&+ \frac{\Delta t}{\rho \Delta z} \left(T_5^{n+\frac{1}{2}}(i + \frac{1}{2}, j, k + \frac{1}{2}) - T_5^{n+\frac{1}{2}}(i + \frac{1}{2}, j, k - \frac{1}{2}) \right) \\
&+ \frac{\Delta t}{\rho \Delta y} \left(T_6^{n+\frac{1}{2}}(i + \frac{1}{2}, j + \frac{1}{2}, k) - T_6^{n+\frac{1}{2}}(i + \frac{1}{2}, j - \frac{1}{2}, k) \right) \\
\dot{v}^{n+1}(i, j + \frac{1}{2}, k) &= \dot{v}^n(i, j + \frac{1}{2}, k) \\
&+ \frac{\Delta t}{\rho \Delta y} \left(T_2^{n+\frac{1}{2}}(i, j + 1, k) - T_2^{n+\frac{1}{2}}(i, j, k) \right) \\
&+ \frac{\Delta t}{\rho \Delta z} \left(T_4^{n+\frac{1}{2}}(i, j + \frac{1}{2}, k + \frac{1}{2}) - T_4^{n+\frac{1}{2}}(i, j + \frac{1}{2}, k - \frac{1}{2}) \right) \\
&+ \frac{\Delta t}{\rho \Delta x} \left(T_6^{n+\frac{1}{2}}(i + \frac{1}{2}, j + \frac{1}{2}, k) - T_6^{n+\frac{1}{2}}(i - \frac{1}{2}, j + \frac{1}{2}, k) \right) \\
\dot{w}^{n+1}(i, j, k + \frac{1}{2}) &= \dot{w}^n(i, j, k + \frac{1}{2}) \\
&+ \frac{\Delta t}{\rho \Delta z} \left(T_3^{n+\frac{1}{2}}(i, j, k + 1) - T_3^{n+\frac{1}{2}}(i, j, k) \right) \\
&+ \frac{\Delta t}{\rho \Delta y} \left(T_4^{n+\frac{1}{2}}(i, j + \frac{1}{2}, k + \frac{1}{2}) - T_4^{n+\frac{1}{2}}(i, j - \frac{1}{2}, k + \frac{1}{2}) \right) \\
&+ \frac{\Delta t}{\rho \Delta x} \left(T_5^{n+\frac{1}{2}}(i + \frac{1}{2}, j, k + \frac{1}{2}) - T_5^{n+\frac{1}{2}}(i - \frac{1}{2}, j, k + \frac{1}{2}) \right)
\end{aligned}$$

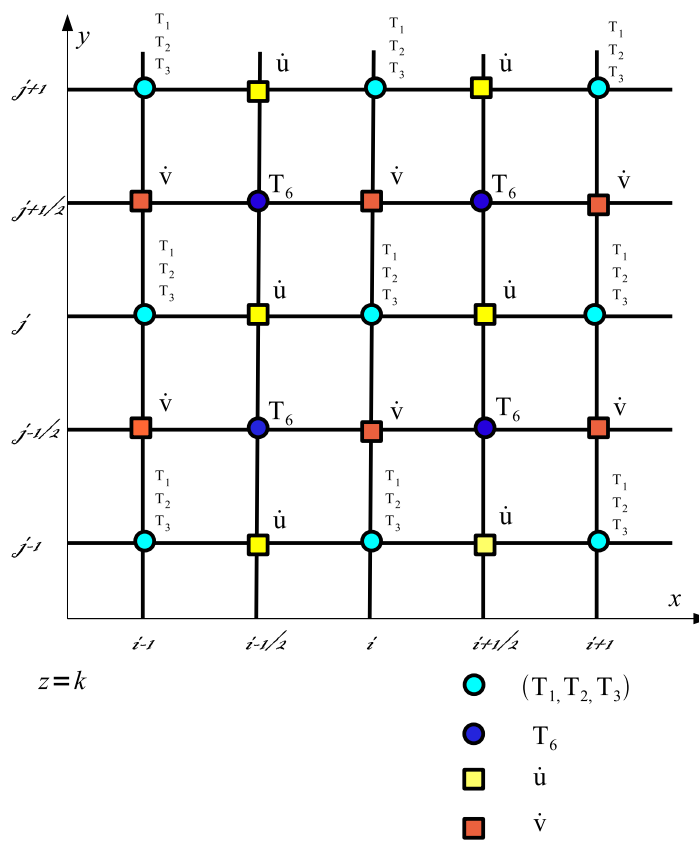


図 3: $z = k$ 面における離散化の図．垂直応力 (T_1, T_2, T_3) , せん断応力 T_6 , 粒子速度 \dot{u}, \dot{v} を各格子上に配置する．

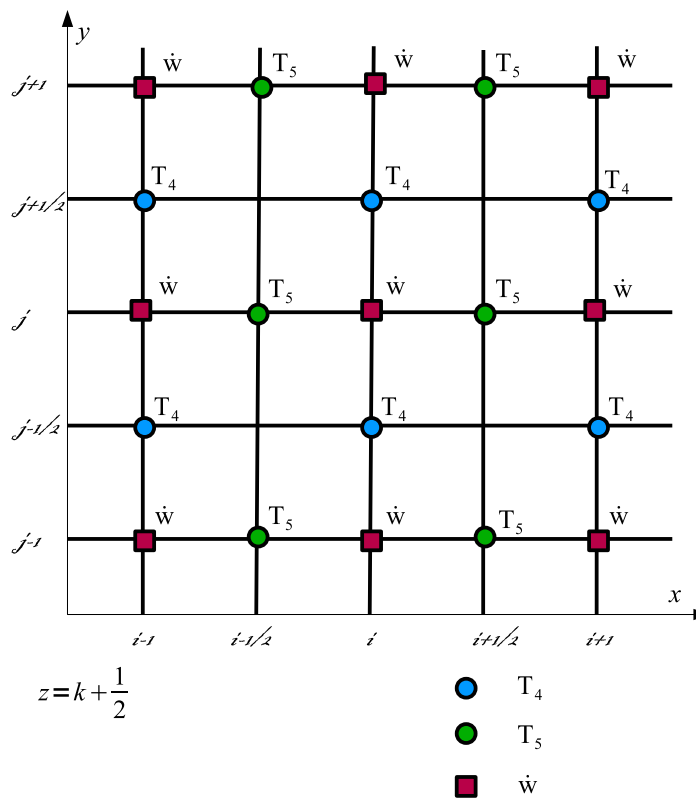


図 4: $z = k + 1$ 面における離散化の図．せん断応力 T_4, T_5 及び粒子速度 \dot{w} を格子上に配置する．

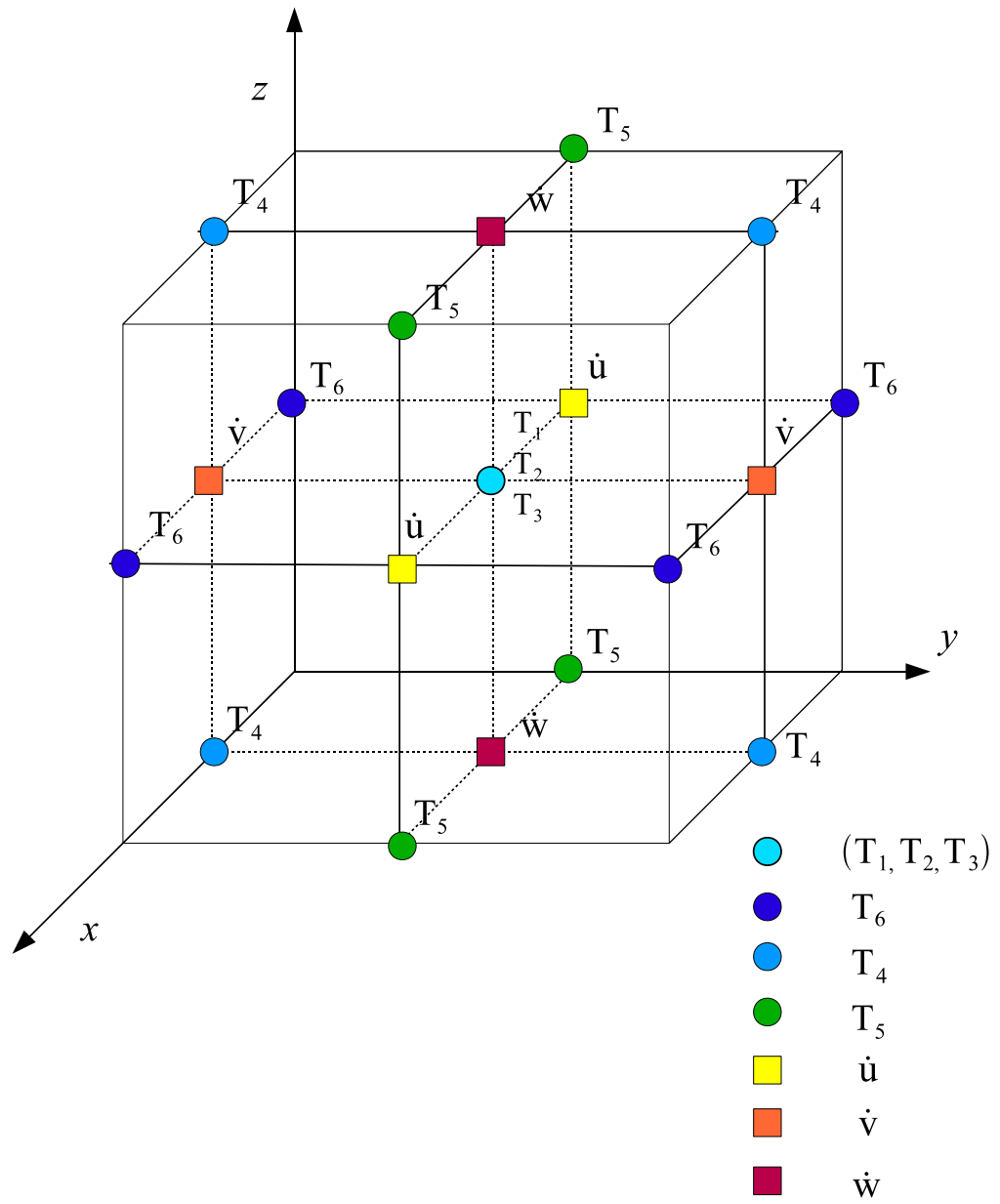


图 5: 离散化

3.2 時間 2 次精度及び空間 4 次精度の離散式

(23) と (24) を時間については式 (30) の 4 次精度中心差分式また時間については式 (29) の 2 次精度中心差分式を使用して書きくだす。

3.2.1 空間 4 次精度の離散式 - 音波

(1) また (2) を時間について 2 次精度，空間について 4 次精度の中心差分式を用いて離散化する。

まず (39),(40) を時間 2 次，空間 4 次の中心差分で書き下せば以下のようになる。

$$\begin{aligned} & \frac{P^{n+\frac{1}{2}}(i, j, k) - P^{n-\frac{1}{2}}(i, j, k)}{\Delta t} = \\ & -\kappa \left\{ \frac{9(\dot{u}^n(i + \frac{1}{2}, j, k) - \dot{u}^n(i - \frac{1}{2}, j, k))}{8\Delta x} - \frac{\dot{u}^n(i + \frac{3}{2}, j, k) - \dot{u}^n(i - \frac{3}{2}, j, k)}{24\Delta x} \right\} \\ & -\kappa \left\{ \frac{9(\dot{v}^n(i, j + \frac{1}{2}, k) - \dot{v}^n(i, j - \frac{1}{2}, k))}{8\Delta x} - \frac{\dot{v}^n(i, j + \frac{3}{2}, k) - \dot{v}^n(i, j - \frac{3}{2}, k)}{24\Delta x} \right\} \\ & -\kappa \left\{ \frac{9(\dot{w}^n(i, j, k + \frac{1}{2}) - \dot{w}^n(i, j, k - \frac{1}{2}))}{8\Delta x} - \frac{\dot{w}^n(i, j, k + \frac{3}{2}) - \dot{w}^n(i, j, k - \frac{3}{2})}{24\Delta x} \right\} \end{aligned}$$

であるから，

$$\begin{aligned} P^{n+\frac{1}{2}}(i, j, k) &= P^{n-\frac{1}{2}}(i, j, k) \\ &- \kappa \frac{9\Delta t}{8\Delta x} \left(\dot{u}^n(i + \frac{1}{2}, j, k) - \dot{u}^n(i - \frac{1}{2}, j, k) \right) \\ &+ \kappa \frac{\Delta t}{24\Delta x} \left(\dot{u}^n(i + \frac{3}{2}, j, k) - \dot{u}^n(i - \frac{3}{2}, j, k) \right) \\ &- \kappa \frac{9\Delta t}{8\Delta y} \left(\dot{v}^n(i, j + \frac{1}{2}, k) - \dot{v}^n(i, j - \frac{1}{2}, k) \right) \\ &+ \kappa \frac{\Delta t}{24\Delta y} \left(\dot{v}^n(i, j + \frac{3}{2}, k) - \dot{v}^n(i, j - \frac{3}{2}, k) \right) \\ &- \kappa \frac{8\Delta t}{9\Delta x} \left(\dot{w}^n(i, j, k + \frac{1}{2}) - \dot{w}^n(i, j, k - \frac{1}{2}) \right) \\ &+ \kappa \frac{\Delta t}{24\Delta x} \left(\dot{w}^n(i, j, k + \frac{3}{2}) - \dot{w}^n(i, j, k - \frac{3}{2}) \right) \end{aligned} \tag{43}$$

また同様に (40) の各成分も離散化すると以下のようになる .

$$\begin{aligned}
\dot{u}^{n+1}(i + \frac{1}{2}, j, k) &= \dot{u}^{n+\frac{1}{2}}(i + \frac{1}{2}, j, k) \\
&\quad - \frac{9\Delta t}{8\rho\Delta x} \left(P^{n+\frac{1}{2}}(i + 1, j, k) - P^{n+\frac{1}{2}}(i, j, k) \right) \\
&\quad + \frac{\Delta t}{24\rho\Delta x} \left(P^{n+\frac{3}{2}}(i + 1, j, k) - P^{n+\frac{3}{2}}(i, j, k) \right) \\
\dot{v}^{n+1}(j, i + \frac{1}{2}, k) &= \dot{v}^{n+\frac{1}{2}}(j, i + \frac{1}{2}, k) \\
&\quad - \frac{9\Delta t}{8\rho\Delta y} \left(P^{n+\frac{1}{2}}(i, j + 1, k) - P^{n+\frac{1}{2}}(i, j, k) \right) \\
&\quad + \frac{\Delta t}{24\rho\Delta y} \left(P^{n+\frac{3}{2}}(i, j + 1, k) - P^{n+\frac{3}{2}}(i, j, k) \right) \\
\dot{w}^{n+1}(i, j, k + \frac{1}{2}) &= \dot{w}^{n+\frac{1}{2}}(i, j, k + \frac{1}{2}) \\
&\quad - \frac{9\Delta t}{8\rho\Delta x} \left(P^{n+\frac{1}{2}}(i, j, k + 1) - P^{n+\frac{1}{2}}(i, j, k) \right) \\
&\quad + \frac{\Delta t}{24\rho\Delta x} \left(P^{n+\frac{3}{2}}(i, j, k + 1) - P^{n+\frac{3}{2}}(i, j, k) \right)
\end{aligned} \tag{44}$$

3.2.2 空間4次精度の離散式 - 弾性波

(23) と (24) を時間について2次また空間については4次精度の中心差分で書き下す. まず例として (23) の T_1 について差分を実行する.

$$\begin{aligned}
\frac{T_1^{n+\frac{1}{2}}(i, j, k) - T_1^{n-\frac{1}{2}}(i, j, k)}{\Delta t} &= c_{11} \frac{9(\dot{u}^n(i + \frac{1}{2}, j, k) - \dot{u}^n(i - \frac{1}{2}, j, k))}{8\Delta x} \\
&- c_{11} \frac{\dot{u}^n(i + \frac{3}{2}, j, k) - \dot{u}^n(i - \frac{3}{2}, j, k)}{24\Delta x} \\
&+ c_{12} \frac{9(\dot{v}^n(i, j + \frac{1}{2}, k) - \dot{v}^n(i, j - \frac{1}{2}, k))}{8\Delta y} \\
&- c_{12} \frac{\dot{v}^n(i, j + \frac{3}{2}, k) - \dot{v}^n(i, j - \frac{3}{2}, k)}{24\Delta y} \\
&+ c_{12} \frac{9(\dot{w}^n(i, j, k + \frac{1}{2}) - \dot{w}^n(i, j, k - \frac{1}{2}))}{8\Delta z} \\
&- c_{12} \frac{\dot{w}^n(i, j, k + \frac{3}{2}) - \dot{w}^n(i, j, k - \frac{3}{2})}{24\Delta z}
\end{aligned}$$

したがって T_1 について時間発展形に書けば以下のようなになる.

$$\begin{aligned}
T_1^{n+\frac{1}{2}}(i, j, k) &= T_1^{n-\frac{1}{2}}(i, j, k) \\
&+ c_{11} \frac{9\Delta t}{8\Delta x} \left(\dot{u}^n(i + \frac{1}{2}, j, k) - \dot{u}^n(i - \frac{1}{2}, j, k) \right) \\
&- c_{11} \frac{\Delta t}{24\Delta x} \left(\dot{u}^n(i + \frac{3}{2}, j, k) - \dot{u}^n(i - \frac{3}{2}, j, k) \right) \\
&+ c_{12} \frac{9\Delta t}{8\Delta y} \left(\dot{v}^n(i, j + \frac{1}{2}, k) - \dot{v}^n(i, j - \frac{1}{2}, k) \right) \\
&- c_{12} \frac{\Delta t}{24\Delta y} \left(\dot{v}^n(i, j + \frac{3}{2}, k) - \dot{v}^n(i, j - \frac{3}{2}, k) \right) \\
&+ c_{12} \frac{9\Delta t}{8\Delta z} \left(\dot{w}^n(i, j, k + \frac{1}{2}) - \dot{w}^n(i, j, k - \frac{1}{2}) \right) \\
&- c_{12} \frac{\Delta t}{24\Delta z} \left(\dot{w}^n(i, j, k + \frac{3}{2}) - \dot{w}^n(i, j, k - \frac{3}{2}) \right)
\end{aligned}$$

以下同様にして, 残りの応力成分を差分であらわせば,

$$\begin{aligned}
T_2^{n+\frac{1}{2}}(i, j, k) &= T_2^{n-\frac{1}{2}}(i, j, k) \\
&+ c_{12} \frac{9\Delta t}{8\Delta x} \left(\dot{u}^n(i + \frac{1}{2}, j, k) - \dot{u}^n(i - \frac{1}{2}, j, k) \right) \\
&- c_{12} \frac{\Delta t}{24\Delta x} \left(\dot{u}^n(i + \frac{3}{2}, j, k) - \dot{u}^n(i - \frac{3}{2}, j, k) \right) \\
&+ c_{11} \frac{9\Delta t}{8\Delta y} \left(\dot{v}^n(i, j + \frac{1}{2}, k) - \dot{v}^n(i, j - \frac{1}{2}, k) \right) \\
&- c_{11} \frac{\Delta t}{24\Delta y} \left(\dot{v}^n(i, j + \frac{3}{2}, k) - \dot{v}^n(i, j - \frac{3}{2}, k) \right) \\
&+ c_{12} \frac{9\Delta t}{8\Delta z} \left(\dot{w}^n(i, j, k + \frac{1}{2}) - \dot{w}^n(i, j, k - \frac{1}{2}) \right) \\
&- c_{12} \frac{\Delta t}{24\Delta z} \left(\dot{w}^n(i, j, k + \frac{3}{2}) - \dot{w}^n(i, j, k - \frac{3}{2}) \right)
\end{aligned}$$

$$\begin{aligned}
T_3^{n+\frac{1}{2}}(i, j, k) &= T_3^{n-\frac{1}{2}}(i, j, k) \\
&+ c_{12} \frac{9\Delta t}{8\Delta x} \left(\dot{u}^n(i + \frac{1}{2}, j, k) - \dot{u}^n(i - \frac{1}{2}, j, k) \right) \\
&- c_{12} \frac{\Delta t}{24\Delta x} \left(\dot{u}^n(i + \frac{3}{2}, j, k) - \dot{u}^n(i - \frac{3}{2}, j, k) \right) \\
&+ c_{12} \frac{9\Delta t}{8\Delta y} \left(\dot{v}^n(i, j + \frac{1}{2}, k) - \dot{v}^n(i, j - \frac{1}{2}, k) \right) \\
&- c_{12} \frac{\Delta t}{24\Delta y} \left(\dot{v}^n(i, j + \frac{3}{2}, k) - \dot{v}^n(i, j - \frac{3}{2}, k) \right) \\
&+ c_{11} \frac{9\Delta t}{8\Delta z} \left(\dot{w}^n(i, j, k + \frac{1}{2}) - \dot{w}^n(i, j, k - \frac{1}{2}) \right) \\
&- c_{11} \frac{\Delta t}{24\Delta z} \left(\dot{w}^n(i, j, k + \frac{3}{2}) - \dot{w}^n(i, j, k - \frac{3}{2}) \right)
\end{aligned}$$

$$\begin{aligned}
T_4^{n+\frac{1}{2}}(i, j + \frac{1}{2}, k + \frac{1}{2}) &= T_4^{n-\frac{1}{2}}(i, j + \frac{1}{2}, k + \frac{1}{2}) \\
&+ c_{44} \frac{9\Delta t}{8\Delta z} \left(\dot{v}^n(i, j + \frac{1}{2}, k + 1) - \dot{v}^n(i, j + \frac{1}{2}, k) \right) \\
&- c_{44} \frac{\Delta t}{24\Delta z} \left(\dot{v}^n(i, j + \frac{1}{2}, k + 2) - \dot{v}^n(i, j + \frac{1}{2}, k - 1) \right) \\
&+ c_{44} \frac{9\Delta t}{8\Delta y} \left(\dot{w}^n(i, j + 1, k + \frac{1}{2}) - \dot{w}^n(i, j, k + \frac{1}{2}) \right) \\
&- c_{44} \frac{\Delta t}{24\Delta y} \left(\dot{w}^n(i, j + 2, k + \frac{1}{2}) - \dot{w}^n(i, j - 1, k + \frac{1}{2}) \right)
\end{aligned}$$

$$\begin{aligned}
T_5^{n+\frac{1}{2}}(i + \frac{1}{2}, j, k + \frac{1}{2}) &= T_5^{n-\frac{1}{2}}(i + \frac{1}{2}, j, k + \frac{1}{2}) \\
&+ c_{44} \frac{9\Delta t}{8\Delta z} \left(\dot{u}^n(i + \frac{1}{2}, j, k + 1) - \dot{u}^n(i + \frac{1}{2}, j, k) \right) \\
&- c_{44} \frac{\Delta t}{24\Delta z} \left(\dot{u}^n(i + \frac{1}{2}, j, k + 2) - \dot{u}^n(i + \frac{1}{2}, j, k - 1) \right) \\
&+ c_{44} \frac{9\Delta t}{8\Delta x} \left(\dot{w}^n(i + 1, j, k + \frac{1}{2}) - \dot{w}^n(i, j, k + \frac{1}{2}) \right) \\
&- c_{44} \frac{\Delta t}{24\Delta x} \left(\dot{w}^n(i + 2, j, k + \frac{1}{2}) - \dot{w}^n(i - 2, j, k + \frac{1}{2}) \right)
\end{aligned}$$

$$\begin{aligned}
T_6^{n+\frac{1}{2}}(i + \frac{1}{2}, j + \frac{1}{2}, k) &= T_6^{n-\frac{1}{2}}(i + \frac{1}{2}, j + \frac{1}{2}, k) \\
&+ c_{44} \frac{9\Delta t}{8\Delta y} \left(\dot{u}^n(i + \frac{1}{2}, j + 1, k) - \dot{u}^n(i + \frac{1}{2}, j, k) \right) \\
&- c_{44} \frac{\Delta t}{24\Delta y} \left(\dot{u}^n(i + \frac{1}{2}, j + 2, k) - \dot{u}^n(i + \frac{1}{2}, j - 1, k) \right) \\
&+ c_{44} \frac{9\Delta t}{8\Delta x} \left(\dot{v}^n(i + 1, j + \frac{1}{2}, k) - \dot{v}^n(i, j + \frac{1}{2}, k) \right) \\
&+ c_{44} \frac{\Delta t}{24\Delta x} \left(\dot{v}^n(i + 2, j + \frac{1}{2}, k) - \dot{v}^n(i - 1, j + \frac{1}{2}, k) \right)
\end{aligned}$$

となる.

また速度ベクトル (24) についても同様にして中心差分をとり離散化すれ

ば以下のようになる.

$$\begin{aligned}
\dot{u}^{n+1}(i + \frac{1}{2}, j, k) &= \dot{u}^n(i + \frac{1}{2}, j, k) \\
&+ \frac{9\Delta t}{8\rho\Delta x} \left(T_1^{n+\frac{1}{2}}(i + 1, j, k) - T_1^{n+\frac{1}{2}}(i, j, k) \right) \\
&- \frac{\Delta t}{24\rho\Delta x} \left(T_1^{n+\frac{1}{2}}(i + 2, j, k) - T_1^{n+\frac{1}{2}}(i - 1, j, k) \right) \\
&+ \frac{9\Delta t}{8\rho\Delta z} \left(T_5^{n+\frac{1}{2}}(i + \frac{1}{2}, j, k + \frac{1}{2}) - T_5^{n+\frac{1}{2}}(i + \frac{1}{2}, j, k - \frac{1}{2}) \right) \\
&- \frac{\Delta t}{24\rho\Delta z} \left(T_5^{n+\frac{1}{2}}(i + \frac{1}{2}, j, k + \frac{3}{2}) - T_5^{n+\frac{1}{2}}(i + \frac{1}{2}, j, k - \frac{3}{2}) \right) \\
&+ \frac{9\Delta t}{8\rho\Delta y} \left(T_6^{n+\frac{1}{2}}(i + \frac{1}{2}, j + \frac{1}{2}, k) - T_6^{n+\frac{1}{2}}(i + \frac{1}{2}, j - \frac{1}{2}, k) \right) \\
&- \frac{\Delta t}{24\rho\Delta y} \left(T_6^{n+\frac{1}{2}}(i + \frac{1}{2}, j + \frac{3}{2}, k) - T_6^{n+\frac{1}{2}}(i + \frac{1}{2}, j - \frac{3}{2}, k) \right)
\end{aligned}$$

$$\begin{aligned}
\dot{v}^{n+1}(i, j + \frac{1}{2}, k) &= \dot{v}^n(i, j + \frac{1}{2}, k) \\
&+ \frac{9\Delta t}{8\rho\Delta y} \left(T_2^{n+\frac{1}{2}}(i, j + 1, k) - T_2^{n+\frac{1}{2}}(i, j, k) \right) \\
&- \frac{\Delta t}{24\rho\Delta y} \left(T_2^{n+\frac{1}{2}}(i, j + 2, k) - T_2^{n+\frac{1}{2}}(i, j - 1, k) \right) \\
&+ \frac{9\Delta t}{8\rho\Delta z} \left(T_4^{n+\frac{1}{2}}(i, j + \frac{1}{2}, k + \frac{1}{2}) - T_4^{n+\frac{1}{2}}(i, j + \frac{1}{2}, k - \frac{1}{2}) \right) \\
&- \frac{\Delta t}{24\rho\Delta z} \left(T_4^{n+\frac{1}{2}}(i, j + \frac{1}{2}, k + \frac{3}{2}) - T_4^{n+\frac{1}{2}}(i, j + \frac{1}{2}, k - \frac{3}{2}) \right) \\
&+ \frac{9\Delta t}{8\rho\Delta x} \left(T_6^{n+\frac{1}{2}}(i + \frac{1}{2}, j + \frac{1}{2}, k) - T_6^{n+\frac{1}{2}}(i - \frac{1}{2}, j + \frac{1}{2}, k) \right) \\
&- \frac{\Delta t}{24\rho\Delta x} \left(T_6^{n+\frac{1}{2}}(i + \frac{3}{2}, j + \frac{1}{2}, k) - T_6^{n+\frac{1}{2}}(i - \frac{3}{2}, j + \frac{1}{2}, k) \right)
\end{aligned}$$

$$\begin{aligned}
\dot{w}^{n+1}(i, j, k + \frac{1}{2}) &= \dot{w}^n(i, j, k + \frac{1}{2}) \\
&+ \frac{9\Delta t}{8\rho\Delta z} \left(T_3^{n+\frac{1}{2}}(i, j, k + 1) - T_3^{n+\frac{1}{2}}(i, j, k) \right) \\
&- \frac{\Delta t}{24\rho\Delta z} \left(T_3^{n+\frac{1}{2}}(i, j, k + 2) - T_3^{n+\frac{1}{2}}(i, j, k - 1) \right) \\
&+ \frac{9\Delta t}{8\rho\Delta y} \left(T_4^{n+\frac{1}{2}}(i, j + \frac{1}{2}, k + \frac{1}{2}) - T_4^{n+\frac{1}{2}}(i, j - \frac{1}{2}, k + \frac{1}{2}) \right) \\
&- \frac{\Delta t}{24\rho\Delta y} \left(T_4^{n+\frac{1}{2}}(i, j + \frac{3}{2}, k + \frac{1}{2}) - T_4^{n+\frac{1}{2}}(i, j - \frac{3}{2}, k + \frac{1}{2}) \right) \\
&+ \frac{9\Delta t}{8\rho\Delta x} \left(T_5^{n+\frac{1}{2}}(i + \frac{1}{2}, j, k + \frac{1}{2}) - T_5^{n+\frac{1}{2}}(i - \frac{1}{2}, j, k + \frac{1}{2}) \right) \\
&- \frac{\Delta t}{24\rho\Delta x} \left(T_5^{n+\frac{1}{2}}(i + \frac{3}{2}, j, k + \frac{1}{2}) - T_5^{n+\frac{1}{2}}(i - \frac{3}{2}, j, k + \frac{1}{2}) \right)
\end{aligned}$$

4 境界条件

4.1 想定する境界条件

想定する境界条件 .

1. 真空との境界 (自由境界)

この場合の条件は境界での応力が 0 になる。図 6 のように境界をとる . 境界接点上の \dot{v} での密度は $\frac{1}{6}\rho$ とし , \dot{u} では $\frac{5}{6}\rho$ とする . 境界が $y = j + \frac{1}{2}$ にあるとして粒子速度ベクトル各々の成分を書き下すと以下ようになる . 図 6, 図 7 を参照

$$\begin{aligned} \dot{u}^{n+1}(i + \frac{1}{2}, j, k) &= \dot{u}^{n-1}(i + \frac{1}{2}, j, k) \\ &+ \frac{\Delta t}{\rho \Delta x} \left(T_1^{n+\frac{1}{2}}(i + 1, j, k) - T_1^{n+\frac{1}{2}}(i, j, k) \right) \\ &+ \frac{6}{5\rho} \frac{\Delta t}{\Delta z} \left(T_5^{n+\frac{1}{2}}(i + \frac{1}{2}, j, k + \frac{1}{2}) - T_5^{n+\frac{1}{2}}(i + \frac{1}{2}, j, k - \frac{1}{2}) \right) \\ \dot{v}^{n+1}(i, j + \frac{1}{2}, k) &= \dot{v}^n(i, j + \frac{1}{2}, k) \\ &+ \frac{6}{\rho} \frac{\Delta t}{\Delta y} \left(-T_2^{n+\frac{1}{2}}(i, j, k) \right) \\ \dot{w}^{n+1}(i, j, k + \frac{1}{2}) &= \dot{w}^n(i, j, k + \frac{1}{2}) \\ &+ \frac{\Delta t}{\rho \Delta z} \left(T_3^{n+\frac{1}{2}}(i, j, k + 1) - T_3^{n+\frac{1}{2}}(i, j, k) \right) \\ &+ \frac{6}{5\rho} \frac{\Delta t}{\Delta x} \left(T_5^{n+\frac{1}{2}}(i + \frac{1}{2}, j, k + \frac{1}{2}) - T_5^{n+\frac{1}{2}}(i - \frac{1}{2}, j, k + \frac{1}{2}) \right) \end{aligned}$$

2. 媒質の異なる個体同士の境界

異なる媒質の境界上の格子点においては、境界節点の前後で媒質条件を連続にするよう密度、スチフネステンソルの各成分は左右の両媒質の平均をとることにする。仮に二つの媒質の密度が ρ, ρ' , スチフネステンソルの各成分が c, c' であるとする . この場合に両媒質の接合においては密度、スチフネステンソルの各成分は $\frac{\rho+\rho'}{2}, \frac{c+c'}{2}$ として計算する .

3. 気体 (液体) と固体との境界

図 8 と図 9 を参照 . 図のように境界が x - y 面にある場合 . 気体 (液体) と固体との境界上でせん断応力 T_6 が零になる .

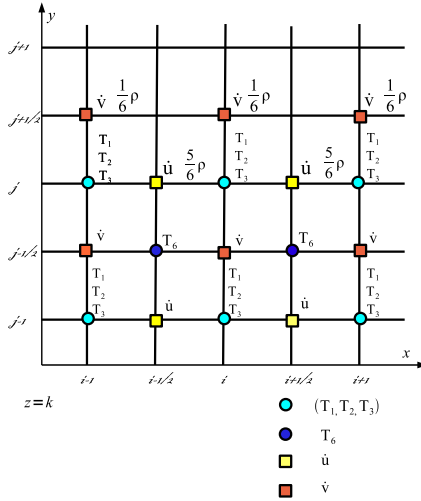


図 6: 自由境界, $z = k$

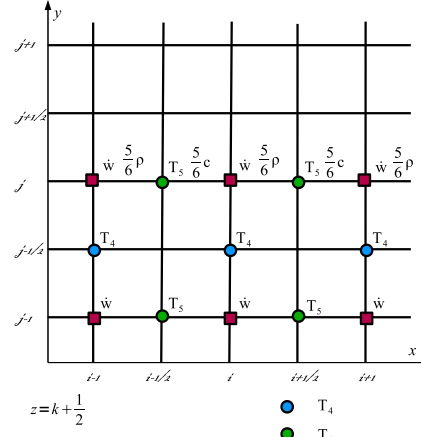


図 7: 自由境界, $z = k + \frac{1}{2}$

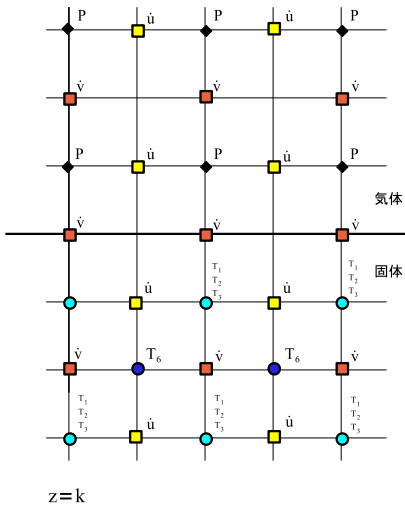


図 8: 液体と固体の境界, $z = k$

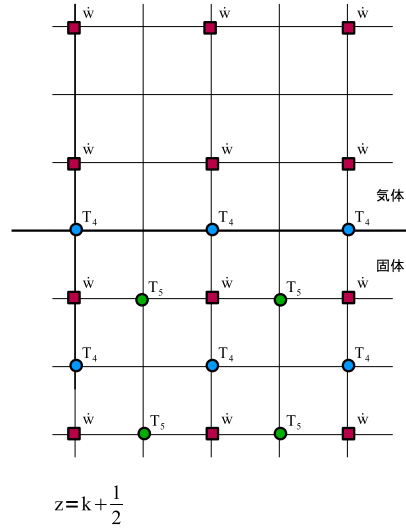


図 9: 液体と固体の境界, $z = k + \frac{1}{2}$

4. 周期境界条件

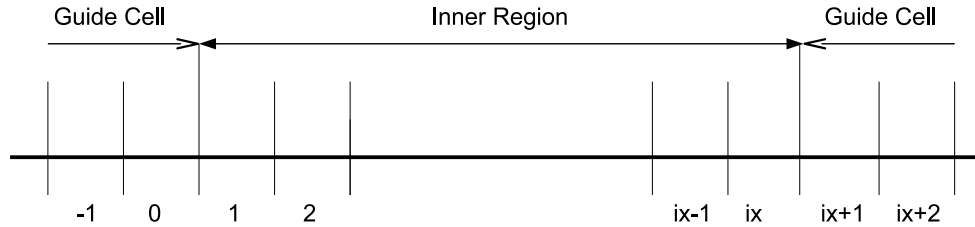


図 10: 計算領域のインデクス

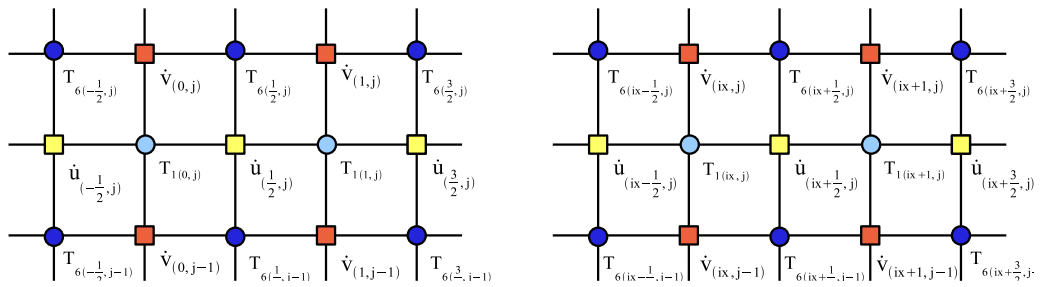


図 11: スタガード配置の変数インデクス

図 (10) は x 方向の計算領域を表した . ここでは $x = 0$ と $x = ix$ が境界であるとする .

周期境界条件は図 (11) のスタガード変数配置では以下のように設定

する .

$$\left\{ \begin{array}{l} T_{1\sim 4(-2)} = T_{1\sim 4(ix-2)} \quad \dot{v}_{(-2)} = \dot{v}_{(ix-2)} \quad \dot{w}_{(-2)} = \dot{w}_{(ix-2)} \\ T_{1\sim 4(-1)} = T_{1\sim 4(ix-1)} \quad \dot{v}_{(-1)} = \dot{v}_{(ix-1)} \quad \dot{w}_{(-1)} = \dot{w}_{(ix-1)} \\ T_{1\sim 4(0)} = T_{1\sim 4(ix)} \quad \dot{v}_{(0)} = \dot{v}_{(ix)} \quad \dot{w}_{(0)} = \dot{w}_{(ix)} \\ T_{1\sim 4(1)} = T_{1\sim 4(ix+1)} \quad \dot{v}_{(1)} = \dot{v}_{(ix+1)} \quad \dot{w}_{(1)} = \dot{w}_{(ix+1)} \\ T_{1\sim 4(2)} = T_{1\sim 4(ix+2)} \quad \dot{v}_{(2)} = \dot{v}_{(ix+2)} \quad \dot{w}_{(2)} = \dot{w}_{(ix+2)} \end{array} \right.$$

$$\left\{ \begin{array}{l} \dot{u}_{(-\frac{5}{2})} = \dot{u}_{(ix-\frac{5}{2})} \quad T_{5,6(-\frac{5}{2})} = T_{5,6(ix-\frac{5}{2})} \\ \dot{u}_{(-\frac{3}{2})} = \dot{u}_{(ix-\frac{3}{2})} \quad T_{5,6(-\frac{3}{2})} = T_{5,6(ix-\frac{3}{2})} \\ \dot{u}_{(\frac{1}{2})} = \dot{u}_{(ix+\frac{1}{2})} \quad T_{5,6(\frac{1}{2})} = T_{5,6(ix+\frac{1}{2})} \\ \dot{u}_{(\frac{3}{2})} = \dot{u}_{(ix+\frac{3}{2})} \quad T_{5,6(\frac{3}{2})} = T_{5,6(ix+\frac{3}{2})} \\ \dot{u}_{(\frac{5}{2})} = \dot{u}_{(ix+\frac{5}{2})} \quad T_{5,6(\frac{5}{2})} = T_{5,6(ix+\frac{5}{2})} \end{array} \right.$$

5. 対象境界条件

境界が x 面で対象なときには以下のように設定する .

$$\left\{ \begin{array}{l} T_{1\sim 4(-1)} = T_{1\sim 4(2)} \quad \dot{v}_{(-1)} = \dot{v}_{(2)} \quad \dot{w}_{(-1)} = \dot{w}_{(2)} \\ T_{1\sim 4(0)} = T_{1\sim 4(1)} \quad \dot{v}_{(0)} = \dot{v}_{(1)} \quad \dot{w}_{(0)} = \dot{w}_{(1)} \end{array} \right.$$

$$\left\{ \begin{array}{l} \dot{u}_{(-\frac{3}{2})} = \dot{u}_{(\frac{3}{2})} \quad T_{5,6(-\frac{3}{2})} = T_{5,6(\frac{3}{2})} \\ \dot{u}_{(-\frac{1}{2})} = \dot{u}_{(\frac{1}{2})} \quad T_{5,6(-\frac{1}{2})} = T_{5,6(\frac{1}{2})} \end{array} \right.$$

6. 吸収境界条件/無反射境界条件

計算空間は有限なので実際には存在しない境界 (壁) が計算領域の端にできる . この境界において吸収 (無反射) 境界を設定し波の計算領域の端での反射をなくす . これらは吸収境界条件と呼ばれ PML 法や Mur の境界条件等多くの方法が提案されている . 本ソルバーにおける吸収境界条件の設定には PML 法を使用する .

4.2 PML 境界条件

PML とは Perfectly Matched Layer の略であり , 完全整合層とも呼ばれる . Berenger[2] により 1994 年に提案され、以後広く使われ発展している . 電磁界解析で一般的に使われており , この方法では電気伝導度 ρ と仮想的な値である磁気伝導度 (磁気損失) ρ_μ を境界でインピーダンスマッチング条件をみたし反射率が零になるように設定する . このような仮想的

な吸収媒質を境界に設置し，入射波を減衰させる．PMLの問題点としては，使用メモリまた計算時間がかかる．また並列化が困難であることがあげられる．ただしPML吸収境界は斜めに入射した波も扱え周波数にも依存せず，また吸収精度もよいのでFDTD計算によく使われている．弾性波にも同様に減衰項を基本方程式に加える．減衰項はPML境界内において値を持つように設定し，PML境界内に入射してきた波が減衰するようにする．弾性波の基本方程式は式(4)と式(5)であるが，減衰項 σ 及び σ^* を式(4)と式(5)に加える．減衰項はPML境界内部でのみ値を持つ．減衰項が0の時は通常の基本方程式と同じである．

$$\frac{\partial}{\partial t} \mathbf{T} + \sigma \mathbf{T} = [c] \cdot \nabla_s \dot{\mathbf{U}} \quad (45)$$

$$\rho \frac{\partial}{\partial t} \dot{\mathbf{U}} + \sigma^* \dot{\mathbf{U}} = \nabla \cdot \mathbf{T} \quad (46)$$

このとき応力ベクトルと粒子速度ベクトルの各成分について(x,y,x)の3成分に分割する． T_1 であれば $T_1 = T_{1x} + T_{1y} + T_{1z}$ のように分割する．この時PML境界内で式(21)は応力につき6個また速度につき3個の計9個の連立方程式であるのでこの3倍の27個の連立方程式が必要になる．しかし基本的には媒質は等方的であると考えるので，式(23)を使うので以

下のように 24 個の連立方程式に展開できる．まず応力について

$$\begin{aligned}
\frac{\partial}{\partial t} T_{1x} + \sigma_x T_{1x} &= c_{11} \frac{\partial}{\partial x} (\dot{u}_x + \dot{u}_y + \dot{u}_z) \\
\frac{\partial}{\partial t} T_{1y} + \sigma_y T_{1y} &= c_{12} \frac{\partial}{\partial y} (\dot{v}_x + \dot{v}_y + \dot{v}_z) \\
\frac{\partial}{\partial t} T_{1z} + \sigma_z T_{1z} &= c_{12} \frac{\partial}{\partial z} (\dot{w}_x + \dot{w}_y + \dot{w}_z) \\
\frac{\partial}{\partial t} T_{2x} + \sigma_x T_{2x} &= c_{12} \frac{\partial}{\partial x} (\dot{u}_x + \dot{u}_y + \dot{u}_z) \\
\frac{\partial}{\partial t} T_{2y} + \sigma_y T_{2y} &= c_{11} \frac{\partial}{\partial y} (\dot{v}_x + \dot{v}_y + \dot{v}_z) \\
\frac{\partial}{\partial t} T_{2z} + \sigma_z T_{2z} &= c_{12} \frac{\partial}{\partial z} (\dot{u}_x + \dot{u}_y + \dot{u}_z) \\
\frac{\partial}{\partial t} T_{3x} + \sigma_x T_{3x} &= c_{12} \frac{\partial}{\partial z} (\dot{u}_x + \dot{u}_y + \dot{u}_z) \\
\frac{\partial}{\partial t} T_{3y} + \sigma_y T_{3y} &= c_{12} \frac{\partial}{\partial y} (\dot{v}_x + \dot{v}_y + \dot{v}_z) \\
\frac{\partial}{\partial t} T_{3z} + \sigma_z T_{3z} &= c_{11} \frac{\partial}{\partial x} (\dot{w}_x + \dot{w}_y + \dot{w}_z) \\
\frac{\partial}{\partial t} T_{4z} + \sigma_z T_{4z} &= c_{44} \frac{\partial}{\partial z} (\dot{v}_x + \dot{v}_y + \dot{v}_z) \\
\frac{\partial}{\partial t} T_{4y} + \sigma_y T_{4y} &= c_{44} \frac{\partial}{\partial y} (\dot{w}_x + \dot{w}_y + \dot{w}_z) \\
\frac{\partial}{\partial t} T_{5y} + \sigma_z T_{5z} &= c_{44} \frac{\partial}{\partial z} (\dot{u}_x + \dot{u}_y + \dot{u}_z) \\
\frac{\partial}{\partial t} T_{5x} + \sigma_x T_{5x} &= c_{44} \frac{\partial}{\partial x} (\dot{w}_x + \dot{w}_y + \dot{w}_z) \\
\frac{\partial}{\partial t} T_{6y} + \sigma_y T_{6y} &= c_{44} \frac{\partial}{\partial y} (\dot{u}_x + \dot{u}_y + \dot{u}_z) \\
\frac{\partial}{\partial t} T_{6x} + \sigma_x T_{6x} &= c_{44} \frac{\partial}{\partial x} (\dot{v}_x + \dot{v}_y + \dot{v}_z)
\end{aligned}$$

(47)

また粒子速度ベクトルの各成分については

$$\begin{aligned}
\rho \frac{\partial}{\partial t} \dot{u}_x + \sigma *_x \dot{u}_x &= c_{44} \frac{\partial}{\partial x} (T_{1x} + T_{1y} + T_{1z}) \\
\rho \frac{\partial}{\partial t} \dot{u}_z + \sigma *_z \dot{u}_z &= c_{44} \frac{\partial}{\partial z} (T_{5x} + T_{5z}) \\
\rho \frac{\partial}{\partial t} \dot{u}_y + \sigma *_y \dot{u}_y &= c_{44} \frac{\partial}{\partial y} (T_{6x} + T_{6y}) \\
\rho \frac{\partial}{\partial t} \dot{v}_y + \sigma *_y \dot{v}_y &= c_{44} \frac{\partial}{\partial y} (T_{2x} + T_{2y} + T_{2z}) \\
\rho \frac{\partial}{\partial t} \dot{v}_z + \sigma *_z \dot{v}_z &= c_{44} \frac{\partial}{\partial z} (T_{4y} + T_{4z}) \\
\rho \frac{\partial}{\partial t} \dot{v}_x + \sigma *_x \dot{v}_x &= c_{44} \frac{\partial}{\partial x} (T_{6x} + T_{6y}) \\
\rho \frac{\partial}{\partial t} \dot{w}_z + \sigma *_z \dot{w}_z &= c_{44} \frac{\partial}{\partial z} (T_{3x} + T_{3y} + T_{3z}) \\
\rho \frac{\partial}{\partial t} \dot{w}_y + \sigma *_y \dot{w}_y &= c_{44} \frac{\partial}{\partial y} (T_{4y} + T_{4z}) \\
\rho \frac{\partial}{\partial t} \dot{w}_x + \sigma *_x \dot{w}_x &= c_{44} \frac{\partial}{\partial x} (T_{5x} + T_{5z})
\end{aligned} \tag{48}$$

となる .

この方程式を差分で書き下す . 例として T_{1x} について時間及び空間 2 次精度の離散式を書く . このとき $T_{1x}^n(i, j, k)$ という値は FDTD 法では存在しないので以下の式で近似する .

$$T_{1x}^n(i, j, k) = \frac{T_{1x}^{n+\frac{1}{2}}(i, j, k) + T_{1x}^{n-\frac{1}{2}}(i, j, k)}{2} \tag{49}$$

すると T_{1x} については

$$\begin{aligned}
&\frac{T_{1x}^{n+\frac{1}{2}}(i, j, k) - T_{1x}^{n-\frac{1}{2}}(i, j, k)}{\Delta t} + \sigma \frac{T_{1x}^{n+\frac{1}{2}}(i, j, k) + T_{1x}^{n-\frac{1}{2}}(i, j, k)}{2} \\
&= c_{11} \frac{\dot{u}_x^n(i + \frac{1}{2}, j, k) - \dot{u}_x^n(i - \frac{1}{2}, j, k)}{\Delta x} \\
&\quad + c_{11} \frac{\dot{u}_y^n(i + \frac{1}{2}, j, k) - \dot{u}_y^n(i - \frac{1}{2}, j, k)}{\Delta x} \\
&\quad + c_{11} \frac{\dot{u}_z^n(i + \frac{1}{2}, j, k) - \dot{u}_z^n(i - \frac{1}{2}, j, k)}{\Delta x}
\end{aligned}$$

T_{1x} について時間発展形に書き直せば

$$\begin{aligned}
 T_{1x}^{n+\frac{1}{2}}(i, j, k) &= \left(\frac{1 - \frac{\sigma\Delta t}{2}}{1 + \frac{\sigma\Delta t}{2}} \right) T_{1x}^{n-\frac{1}{2}}(i, j, k) \\
 &+ \frac{1}{1 + \frac{\sigma\Delta t}{2}} \times \\
 &\quad \left\{ c_{11} \frac{\Delta t}{\Delta x} \left(\dot{u}_x^n(i + \frac{1}{2}, j, k) - \dot{u}_x^n(i - \frac{1}{2}, j, k) \right) \right. \\
 &+ c_{11} \frac{\Delta t}{\Delta x} \left(\dot{u}_x^n(i + \frac{1}{2}, j, k) - \dot{u}_x^n(i - \frac{1}{2}, j, k) \right) \\
 &\left. + c_{11} \frac{\Delta t}{\Delta x} \left(\dot{u}_x^n(i + \frac{1}{2}, j, k) - \dot{u}_x^n(i - \frac{1}{2}, j, k) \right) \right\} \quad (50)
 \end{aligned}$$

ここで $\frac{\sigma\Delta t}{2} = \alpha$ と置き，次の近似式を用いる．

$$\begin{aligned}
 1 + \alpha &= \exp\left[\alpha - \frac{\alpha^2}{2} + \frac{\alpha^3}{3} \cdots\right] \\
 1 - \alpha &= \exp\left[-\alpha - \frac{\alpha^2}{2} - \frac{\alpha^3}{3} \cdots\right]
 \end{aligned}$$

そのとき

$$\begin{aligned}
 \frac{1 + \alpha}{1 - \alpha} &= \exp[2\alpha \cdots] \\
 \frac{\Delta t}{\Delta x} \frac{1}{1 + \alpha} &= \frac{\sigma\Delta t}{\sigma\Delta x} \frac{1}{1 + \alpha} \\
 &= \frac{2\alpha}{\sigma\Delta x} \frac{1}{1 + \alpha} \\
 &= \frac{1}{\sigma\Delta x} \frac{2\alpha}{1 + \alpha} \\
 &= \frac{1}{\sigma\Delta x} \left\{ 1 - \frac{1 - \alpha}{1 + \alpha} \right\} \\
 &= \frac{1}{\sigma\Delta x} \{1 - \exp[-2\alpha]\}
 \end{aligned}$$

となる．_{XS} これらの近似を用いて式 (50) を書き直せば

$$\begin{aligned}
 T_{1x}^{n+\frac{1}{2}}(i, j, k) &= \exp[\sigma\Delta t]T_{1x}^{n-\frac{1}{2}}(i, j, k) \\
 &+ \frac{1}{\sigma\Delta x} \{1 - \exp[-\sigma\Delta t]\} \times \\
 &\quad \left\{ c_{11} \left(\dot{u}_x^n(i + \frac{1}{2}, j, k) - \dot{u}_x^n(i - \frac{1}{2}, j, k) \right) \right. \\
 &+ c_{11} \left(\dot{u}_x^n(i + \frac{1}{2}, j, k) - \dot{u}_x^n(i - \frac{1}{2}, j, k) \right) \\
 &\quad \left. + c_{11} \left(\dot{u}_x^n(i + \frac{1}{2}, j, k) - \dot{u}_x^n(i - \frac{1}{2}, j, k) \right) \right\} \quad (51)
 \end{aligned}$$

以下同様に応力の各成分と粒子速度の各成分も離散化する．

参考文献

- [1] 佐藤雅弘, “FDTD 法による弾性振動・波動の解析入門”, 森北出版株式会社境界条件”, 第 19 回数值流体力学シンポジウム, C7-4.
- [2] J-P. Berenger, “A perfectly mathed layer for absorption of electromagnetic waves” J.Comput. Phys., vol.114, no.1, pp. 185-200, 1994